

**ЗАКЛАД ВИЩОЇ ОСВІТИ УКРАЇНИ
«Сумський державний університет»**

Факультет технічних систем та енергоефективних технологій
(повне найменування інституту, назва факультету (відділення))

Кафедра технології машинобудування, верстатів та інструментів
(повна назва кафедри (предметної, циклової комісії))

Пояснювальна записка

до кваліфікаційної роботи (проєкту)

перший (бакалаврський)
(освітньо-науковий рівень)

на тему «Проєктування технологічного процесу виготовлення

Сумський державний університет
вала ведучого Н17.211.05.01»

**Кафедра технології машинобудування,
верстатів та інструментів**

Виконав: студент IV курсу, групи ТМ-71-9
спеціальності: _____

131 «Прикладна механіка»
(шифр і назва спеціальності)

освітньої програми: _____

«Технології машинобудування»
(назва освітньої програми)

Іван ПАРФЕНЦЕВ
(ім'я та ПРІЗВИЩЕ)

Керівник

Павло КУШНІРОВ
(ім'я та ПРІЗВИЩЕ)

Рецензент

Віталій КОЛЕСНИК
(ім'я та ПРІЗВИЩЕ)

МІНІСТЕРСТВО ОСВІТИ І НАУКИ УКРАЇНИ

Сумський державний університет

Кафедра технології машинобудування, верстатів та інструментів

ЗАТВЕРДЖУЮ

Завідувач кафедри

Віталій ІВАНОВ

« _____ » червня 2021 р.

**ПРОЕКТУВАННЯ ТЕХНОЛОГІЧНОГО ПРОЦЕСУ ВИГОТОВЛЕННЯ
ВАЛА ВЕДУЧОГО Н17.211.05.01**

Сумський державний університет
Кваліфікаційна робота (проект) бакалавра
Кафедра технології машинобудування,
Спеціальність – 131 «Прикладна механіка»
верстатів та інструментів
Освітня програма – «Технології машинобудування»

Студент

Іван ПАРФЕНЦЕВ

Керівник

Павло КУШНІРОВ

Нормоконтроль

Юлія ДЕНИСЕНКО

РЕФЕРАТ

Записка: 60 с., 13 рис., 19 табл., 4 додатки, 12 літературних джерел.

Об'єкт розробки: вал ведучий Н17.211.05.01 машини для виготовлення насоса консольний хімічний «ХМЕ».

Мета роботи: проектування технологічного процесу виготовлення вала ведучого Н17.211.05.01.

Виконаний аналіз службового призначення машини для виготовлення капсул і вала та умов їх експлуатації. За коефіцієнтом закріплення операцій визначений тип виробництва – середньосерійний, та форма його організації – групова.

Виконаний аналіз технологічності конструкції деталі за якісними та кількісними показниками. Вибраний спосіб одержання заготовки – штамповка на КГШП.

Виконаний аналіз технологічного процесу виготовлення деталі, вибрані і обґрунтовані схеми базування і закріплення заготовок на двох операціях: 025 0«Токарна з ЧПК» і 060 «Вертикально-фрезерна».

Розраховані припуски і граничні розміри за технологічними переходами на дві зовнішні поверхні діаметром 42 N7.

Вибрані верстатні пристрої, різальний та вимірювальний інструменти, розраховані режими різання та норми часу на наведені операції.

Спроектований верстатний пристрій для обробки шпонкових пазів заготовок на операції 060 «Вертикально-фрезерна».

В розділі «Охорона праці та безпека в надзвичайних ситуаціях» визначені первинні дії, які треба надавати людині у разі її ураженні електричним струмом.

ВАЛ, ЗАГОТОВКА, БАЗУВАННЯ, ПРИПУСК, РЕЖИМ РІЗАННЯ, НОРМА ЧАСУ, ПРИСТРІЙ

ЗМІСТ

Вступ.....	5
1 Аналіз службового призначення машини, вузла, деталі. Опис конструктивних особливостей деталі та умов її експлуатації.....	6
2 Аналіз технічних вимог на виготовлення деталі.....	11
3 Визначення типу виробництва та форми його організації.....	14
4 Аналіз технологічності конструкції деталі.....	18
5 Вибір способу отримання заготовки та розроблення технічних вимог до неї.....	20
6 Аналіз існуючого технологічного процесу.....	25
6.1 Розрахунок припусків на механічну обробку.....	25
6.2 Аналіз та обґрунтування схем базування і закріплення заготовки.....	27
6.3 Обґрунтування вибору металорізальних верстатів.....	31
6.4 Обґрунтування вибору верстатних пристроїв, металорізального та вимірювального інструментів.....	33
6.5 Розрахунок режимів різання.....	34
6.6 Технічне нормування операцій.....	38
7 Проектування верстатного пристрою.....	40
7.1 Обґрунтування побудови верстатного пристрою. Вибір системи пристрою.....	40
7.2 Уточнення мети технологічної операції.....	40
7.3 Визначення кількісних і якісних даних поверхонь заготовки, яка надходить на операцію.....	41
7.4 Розроблення та обґрунтування схеми закріплення заготовки.....	43
7.5 Вибір та розрахунок механізованого приводу.....	43
7.6 Розрахунок елементів конструкції пристрою на міцність.....	44
7.7 Розрахунок точності елементів конструкції пристрою.....	48
7.8 Опис конструкції та роботи пристрою.....	49
Висновки.....	57
Список використаних джерел.....	58
Додаток А Креслення деталі «Вал ведучий».....	60
Додаток Б Розрахунок припусків на ЕОМ.....	61
Додаток В Специфікація ТМ19510123–07–00.00.....	62
Додаток Г Охорона праці та безпека в надзвичайних ситуаціях.....	63

					ТМ19510123–00 ПЗ			
Изм.	Лист	№ докум.	Подпись	Дата	Проектування технологічного процесу виготовлення вала ведучогоН17.211.05.01. Пояснювальна записка	Лит.	Лист	Листов
Разраб.	Парфенцев						4	69
Пров.	Квцшніров					СумДУ, ТМ–71–9		
Реценз.								
Н. Контр.	Денисенко							
Утв.	Іванов							

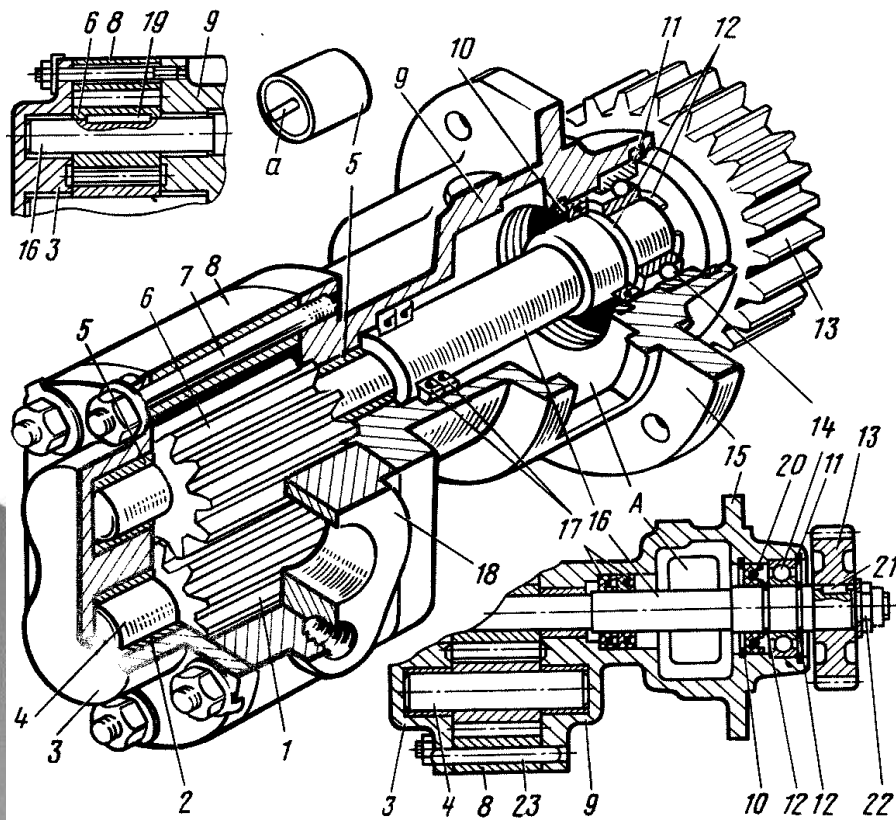


Рисунок 11 – склад машини

На рисунку 11 позиції 1, 6 – ведена і ведуча шестерні; 2, 5 – втулкові підшипники; 3, 9 – задня і передня кришки; 4, 16 – ведений і ведучий вали; 7 – шпилька; 8 – корпус насоса; 10, 11, 12 – стопорні кільця; 13 – шестерня приводу; 14 – кульковий підшипник; 15, 18 – фланці; 17, 20 – сальники Гуфери; 19, 21 – шпонки; 22 – корончата гайка; 23 – штифт.

Конструкція приводу повинна гарантувати відсутність передачі осьових і радіальних зусиль на провідний вал насоса.

Для орієнтування тиску в западині щодо положення шестерні до корпусу на ведучому валу насоса був встановлений диск-лічильник у вигляді текстолітової шайби з якорем.

Ведучий вал мультиплікатора з'єднується з валом відбору потужності трактора, а ведений вал з ведучим валом насоса, що монтується на кронштейні мультиплікатора.

Изм.	Лист	№ докум.	Подпись	Дата

ТМ 19510123 ПЗ

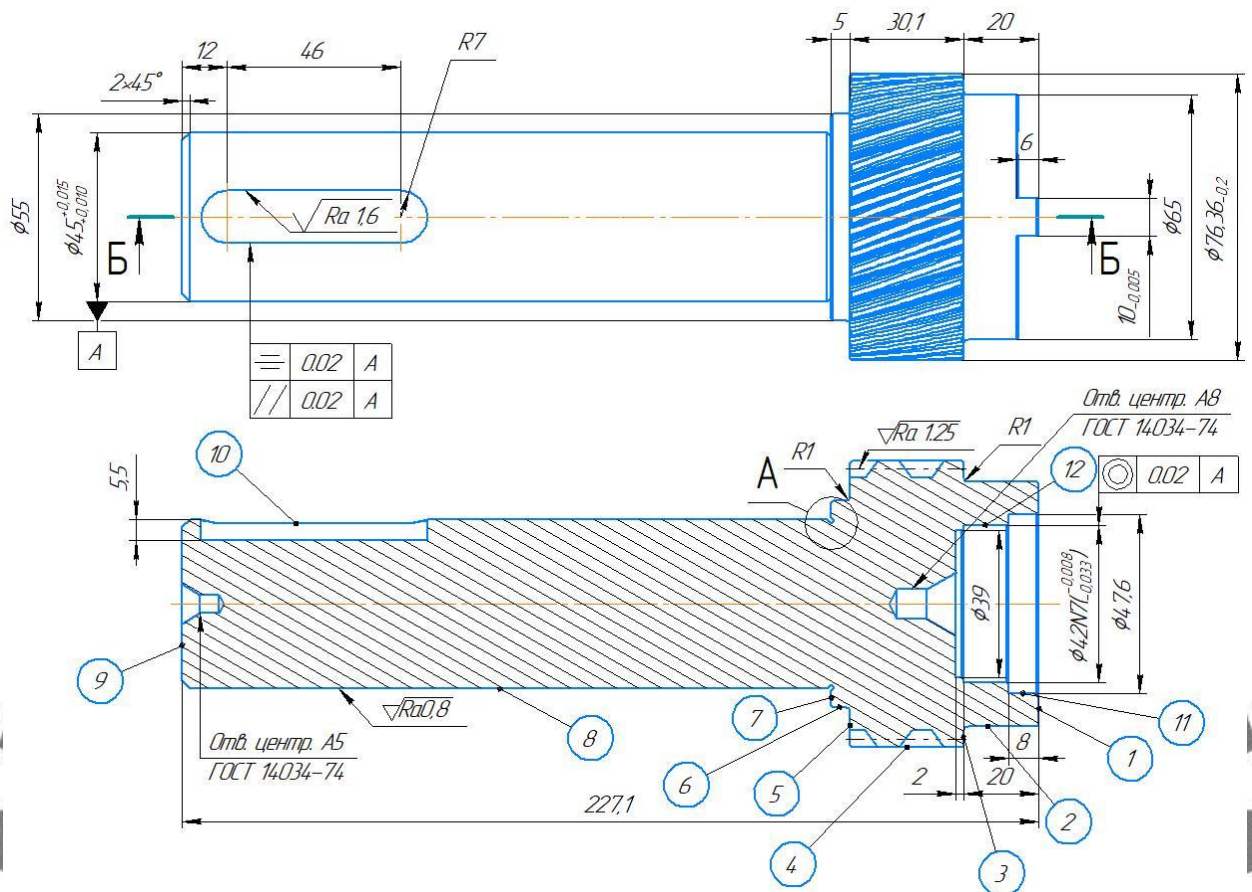


Рисунок 1.2 – Деталь насоса Вал ведучий

Основна конструкторська база є поверхні 8 і 1. Завдяки цим поверхням деталь позбавляється ступенів вільності ті базується в зборці. Схема зв'язків та ступень відповідності переміщенням наведені в таблицях 1.1 та 1.2.

Виконавчі розміри 4, 10 з їх допомогою деталь виконує своє службове значення.

Поверхні 12 є допоміжними конструкторськими базами (ДКБ).

Інші поверхні 2, 3, 5, 6, 7, 9, 11 незазначені фаски, деякі елементи конструкції, центрових отворів, галтелей, є поверхнями вільними. Ці поверхні не приймають участі при виготовленні деталі на стадії механічної обробки і при роботі деталі в машині. Наведені поверхні потрібні для визначення контуру деталі, виходу (перебігу) інструменту при обробки на окремих операціях технологічного процесу, усунення задирок в місцях з'єднання циліндричних та торцевих поверхонь, базування деталі на токарних і шліфувальних операціях.

Изм.	Лист	№ докум.	Подпись	Дата

2 АНАЛІЗ ТЕХНІЧНИХ ВИМОГ НА ВИГОТОВЛЕННЯ ДЕТАЛІ

Виходячи із умов експлуатації пластини у виробі, конструктор призначив матеріалом сталь ХВГ ГОСТ 1050–88 (див. табл. 2.1) [3].

Матеріал деталі - сталь легована ХВГ ГОСТ 5970-73.

Замінники - 9ХС, ХГ, 9ХВГ, ХВСГ, ШХ15СГ.

Призначення сталі ХВГ - вимірювальний і різучий інструмент, для якого підвищений жолоблення при загартуванні неприпустимо, різьбові калібри, протяжки, довгі мітчики, довгі розгортки і інший вид спеціального інструменту, холодновисадочні матриці і пуансони, технологічне оснащення.

Таблиця 2.1 – Хімічний склад сталі ХВГ ГОСТ 1050–88, у відсотках

C	Si	Mn	Cr	Ni	P	Mo	Cu	S	Fe
				Не більше					
0,90-1,05	0,1-0,4	0,8-1,1	0,9-1,2	0,35		0,03			~94

Основні механічні властивості сталі ХВГ наведені в таблиці 2.2 [3].

Таблиця 2.2 – Механічні властивості сталі ХВГ ГОСТ 1050–88

σ_B , МПа	σ_T , МПа	δ_5 , %	Ψ , %	a_n , Дж/см ²	НВ (не більше)	
Не менше					гарячекатаної	відпаленої
610	360	16	40	50	241	197

Методи одержання заготовок

Заготовку з сталі ХВГ виготовляють такими методами: прокат, штамповка, ковка. Основним методом для цієї деталі являється отримання заготовки методом штамповки - це спосіб отримання заготовки або готових виробів під тиском за

допомогою штампів (металевих форм), обриси яких відповідають конфігурації виробів, що виготовляються, цей метод допомагає отримати заготовку з мінімальною кількістю металу для обробки.

Простановка розмірів

Аналіз проставлення лінійних розмірів деталі визначив, що конструктор на кресленні проставив лінійні розміри за трьома методами: ланцюговим, координатним, змішаним. Наприклад, розміри 227,1 мм, 8 мм, 20 мм, 12 мм, проставлені координатним методом від однієї торцевої поверхні (діаметр 65). Розміри 6 мм, 46 мм і 5 мм, 30,1 мм, 20мм проставлені ланцюговим методом. Розміри 17 мм, 16 мм, 37 мм проставлені змішаним методом.

Допуски форми й взаємного розташування :

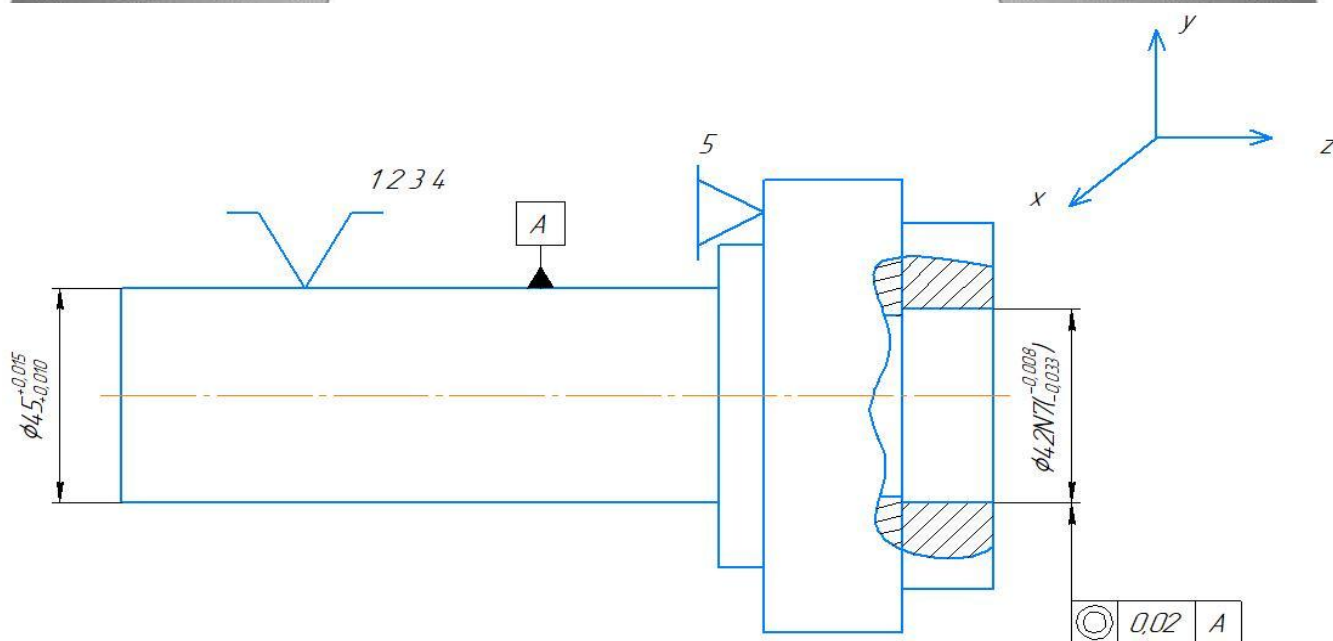


Рисунок 2.1 – Допуск співвісності D42 N7 внутрішнього діаметру відносно бази A d45 становить 0,02мм;

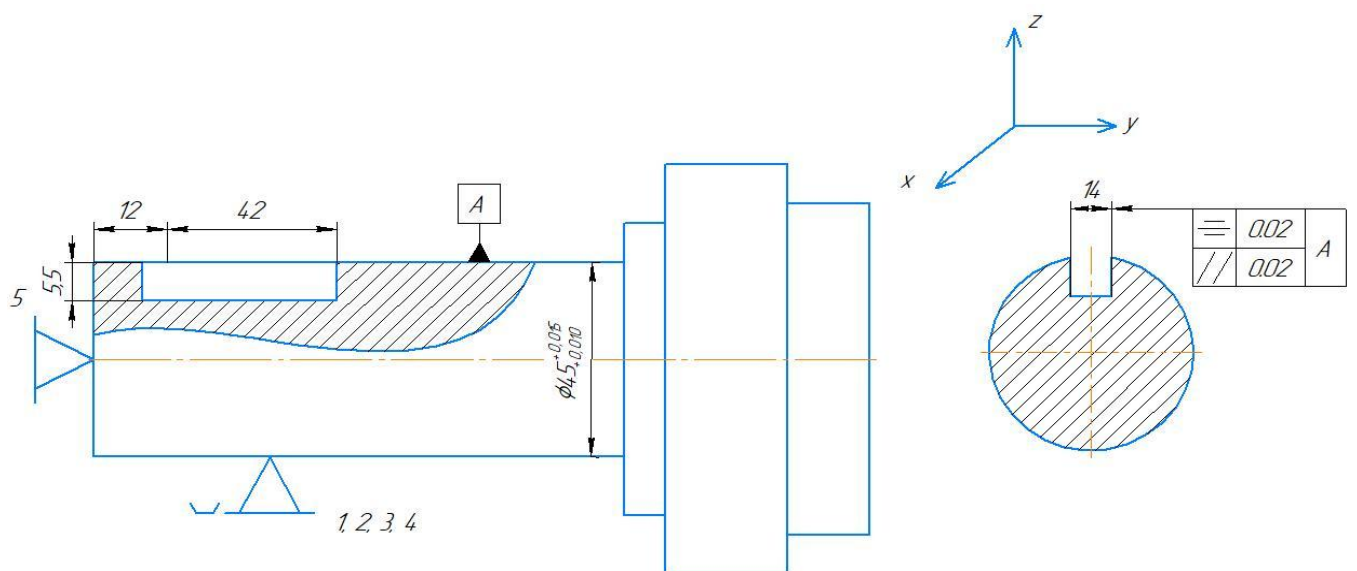


Рисунок 2.2 – Допуск симетричності бокових поверхонь пазу 114 відносно бази А $d45$ становить 0,02мм та допуск паралельності бокових поверхонь пазу 114 відносно бази А $d45$ становить 0,02 мм.

**Сумський державний університет
Кафедра технології машинобудування,
верстатів та інструментів**

Изм.	Лист	№ докум.	Подпись	Дата

ТМ 19510123 ПЗ

3 ВИЗНАЧЕННЯ ТИПУ ВИРОБНИЦТВА ТА ФОРМИ ЙОГО ОРГАНІЗАЦІЇ

Тип виробництва визначається за коефіцієнтом закріплення операцій K_{30} [5]. Вихідними даними для розрахунку коефіцієнта є існуючий технологічний процес виготовлення пластини і норми штучно-калькуляційного часу $T_{ш-к}$ за всіма операціями. Вихідні та розраховані дані наведені в таблиці 3.1.

Таблиця 3.1 – Розрахунок коефіцієнта закріплення операцій

Номер операції	Найменування операції	$T_{ш-к}$, хв.	m_p	P	$\eta_{з.ср.}$	O
025	Токарна з ЧПК	2,1	0,0217	1	0,0217	36,86
030	Токарна з ЧПК	3,2	0,0330	1	0,0330	24,24
035	Токарна з ЧПК	4,7	0,0486	1	0,0486	16,46
045	Горизонтально-фрезерна	4,1	0,0424	1	0,0424	18,87
060	Вертикально-фрезерна	7,2	0,0744	1	0,0744	10,75
070	Зубофрезерна	9,4	0,0972	1	0,0972	8,23
095	Кругло шліфувальна	8,3	0,0858	1	0,0858	9,32
Всього		39,0	–	7	–	124,73

Визначення типу виробництва.

Кількість верстатів по операціям визначається за формулою [1]:

$$m_p = \frac{N \cdot T_{ш-к}}{60 \cdot F_d \cdot \eta_{з.н.ср.}}$$

де $N = 2000$ шт – річна програма виготовлення виробів;

$F_d = 4029$ год – дійсний річний фонд часу роботи обладнання;

$\eta_{з.н.ср.} = 0,8$ – середнє значення нормованого коефіцієнта завантаження обладнання (на цьому етапі тип виробництва ще не визначений).

5 ВИБІР СПОСОБУ ОДЕРЖАННЯ ЗАГОТОВКИ ТА РОЗРОБЛЕННЯ ТЕХНІЧНИХ ВИМОГ ДО НЕЇ

Вихідними даними для виготовлення заготовки є річна програма випуску деталей $N = 2000$ штук; матеріал деталі – сталь ХВГ ГОСТ 1050–88; тип виробництва – середньосерійний.

На підприємстві заготовка пластини виготовляється із круглого прокату діаметром $85(+0,4;-1,0)$ мм і довжиною 8000 мм. Заготовка із наведеними розмірами є груповою заготовкою, яка потім розрізається на окремі (штучні) заготовки (див. рис. 4.1).

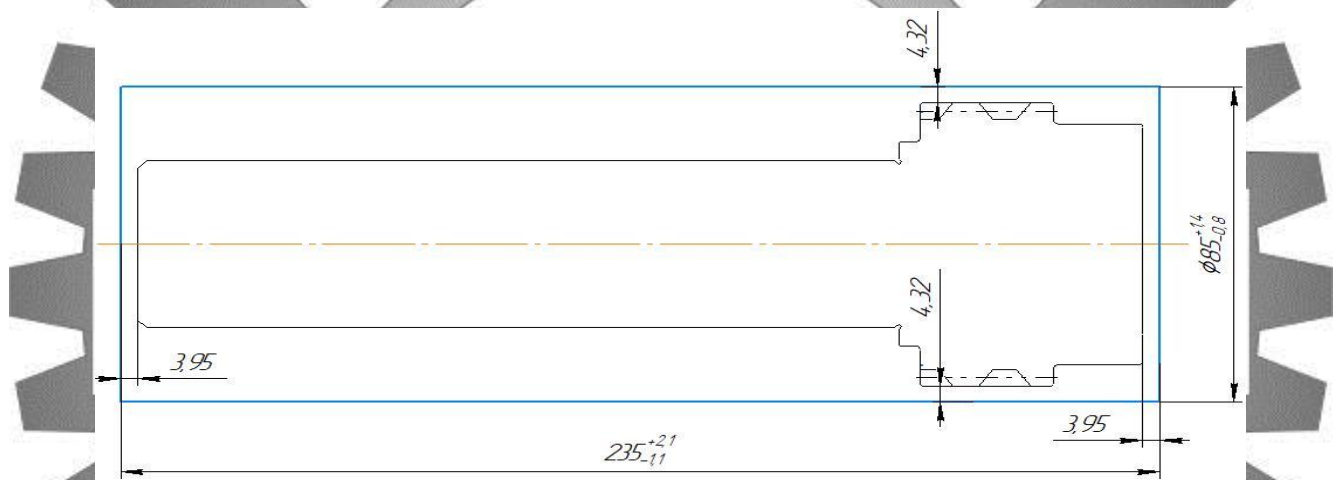


Рисунок 5.1 – Заготовка, яка виготовлена із круглого прокату

Визначимо вартість S_{Π} заготовки із круглого прокату за формулою [5]:

$$S_{\Pi} = M + \Sigma C_o,$$

де M – витрати матеріалу заготовки, грн.;

C_o – витрати на розрізання прутків для отримання штучних заготовок, грн.

$$M = Q \cdot S - (Q - q) \cdot \frac{S_{\text{отх}}}{1000} = 10,5 \cdot 120 - (10,5 - 3,34) \cdot \frac{280}{1000} \cong 1258 \text{ грн,}$$

де $Q = 10,47$ кг – маса заготовки із прокату;

$$Q = \frac{\pi D^2}{4} \cdot L \cdot J = \frac{3,14 \cdot 8,5^2}{4} \cdot 23,5 \cdot 7,9 = 10,5 \text{ кг;}$$

$D = 80$ мм – діаметр прутка;

					ТМ 19510123 ПЗ	
Изм.	Лист	№ докум.	Подпись	Дата		20

$$\text{де } m_{\phi} = V_{\phi} \cdot j \cdot 1,05 = \frac{\pi D^2}{4} \cdot L \cdot j \cdot 1,05 = \frac{3,14 \cdot 7,636^2}{4} \cdot 22,71 \cdot 7,9 \cdot 1,05 = 8,6 \text{ кг};$$

$j = 7,9 \text{ г/см}^3$ – щільність матеріалу;

$D = 76,36 \text{ мм}$; $L = 227,1 \text{ мм}$ – найбільші розміри деталі за кресленням;

1,05 – коефіцієнт збільшення розмірів поковки.

Якщо $C = 0,62 < 0,63$, то ступень складності $C2$.

6. Визначаємо конфігурацію поверхні рознімання штампа [7, т. 1] – П (площинна).

7. Визначаємо вихідний індекс $VI = 12$ [7, т. 2].

8. Визначаємо основні табличні припуски на механічну обробку (на сторону) і напуски [7, т. 3]:

1,7 - діаметр 76,36 і шорсткість поверхні $Ra = 1,6 \text{ мкм}$

1,7 - діаметр 45 і шорсткість поверхні $Ra = 1,6 \text{ мкм}$

2,0 - довжина 227,1 і шорсткість поверхні $Ra = 3,2 \text{ мкм}$

1,6 - довжина 30,1 і шорсткість поверхні $Ra = 3,2 \text{ мкм}$

1,6 - довжина 20 і шорсткість поверхні $Ra = 3,2 \text{ мкм}$

1,6 - довжина 5 і шорсткість поверхні $Ra = 3,2 \text{ мкм}$

1,7 - довжина 55,1 і шорсткість поверхні $Ra = 3,2 \text{ мкм}$.

Додаткові припуски, що враховують:

- зміщення по поверхні роз'єму штампа - 0,3 мм (с.14, таблиця 4);

- зігнутість, відхилення від площинності і прямолінійності - 0,5 мм (с.14, таблиця 5).

Изм.	Лист	№ докум.	Подпись	Дата

ТМ 19510123 ПЗ

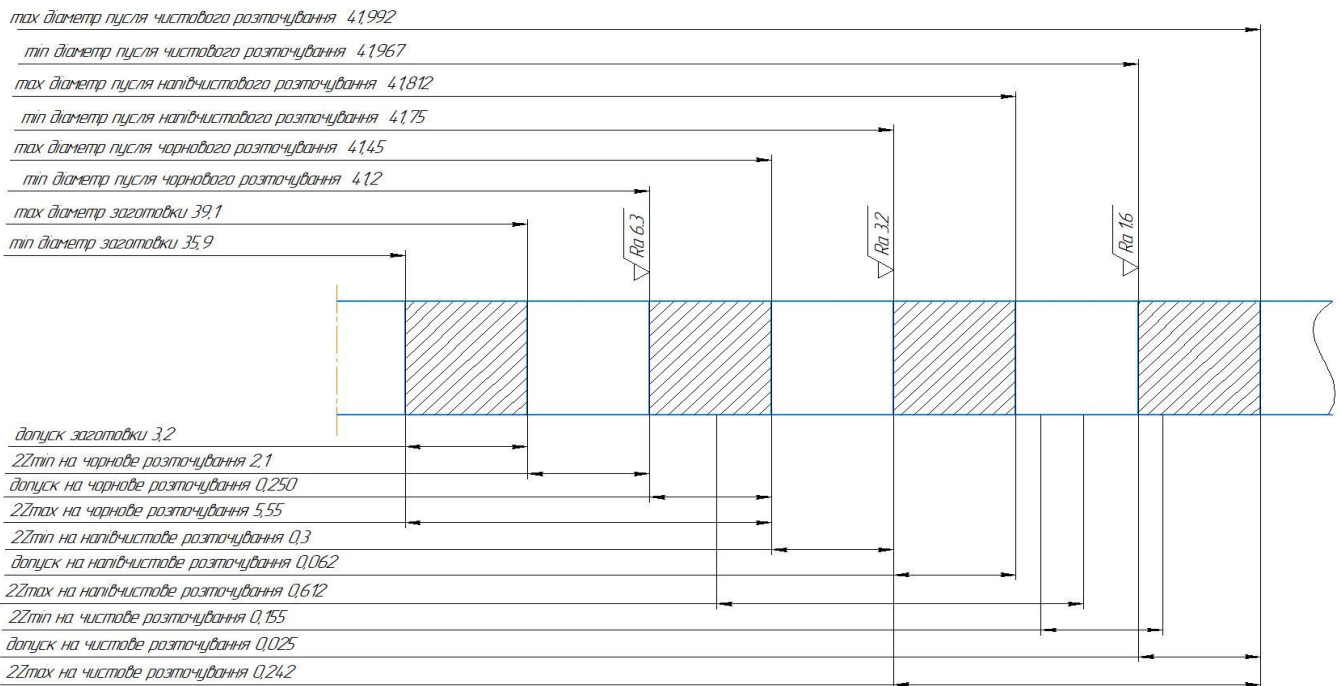


Рисунок 6.1 – Схема розташування припусків

та допусків на $\varnothing 42N7$

Сумський державний університет
Кафедра технології машинобудування,
верстатів та інструментів

6.2 Аналіз та обґрунтування схем базування і закріплення заготовки.

Операція 025 «Токарна з ЧПК». Верстат моделі TL-1. Схеми за варіантами №1 базування і закріплення заготовки наведені на рисунках 5.1.

На операції оброблюються діаметри 65,(0;-0,74) мм, 76,36(0;-0,019) мм, витримуються лінійні розміри 30,1(0;-0,62) мм та 20(0;-0,52) мм. Потім заготовка переустановлюється.

За схемою заготовка установлюється в шпиндель з упором в торець отворами на центра верстата.

Точність лінійних розмірів $T_{30,1} = 0,62$ мм, $T_{20} = 0,52$ мм забезпечується точністю налагоджувального розміру інструмента на оброблювальний розмір. Схеми зв'язків відповідності та матриці зв'язків наведені у таблицях 5.1 та 5.2.

В цілому деталь лишена п'яти ступені вільності, має дві технологічні бази:

Изм.	Лист	№ докум.	Подпись	Дата

ТМ 19510123 ПЗ

– подвійна направляюча, діаметр 50, позбавляє чотири ступені вільності: переміщення та обертання по X та Z:

– опорна, лівий торець діаметр 60, позбавляє одну степінь вільності переміщення по Z.

Таблиця 6.1 – Таблиця відповідності

Зв'язок	Ступень вільності	База
1, 2, 3, 4	II, III, V, VI	ПНБ
5	I	ОБ
6	Вакансія	–

Таблиця 6.2 – Матриця зв'язків

X, Y, Z / I, α	X	Y	Z	База
I	1	1	0	ПНБ
α	1	1	0	
I	0	0	1	ОБ
α	0	0	0	
I	0	0	0	–
α	0	0	0	
Всього	2	2	1	5-Ь зв'язків

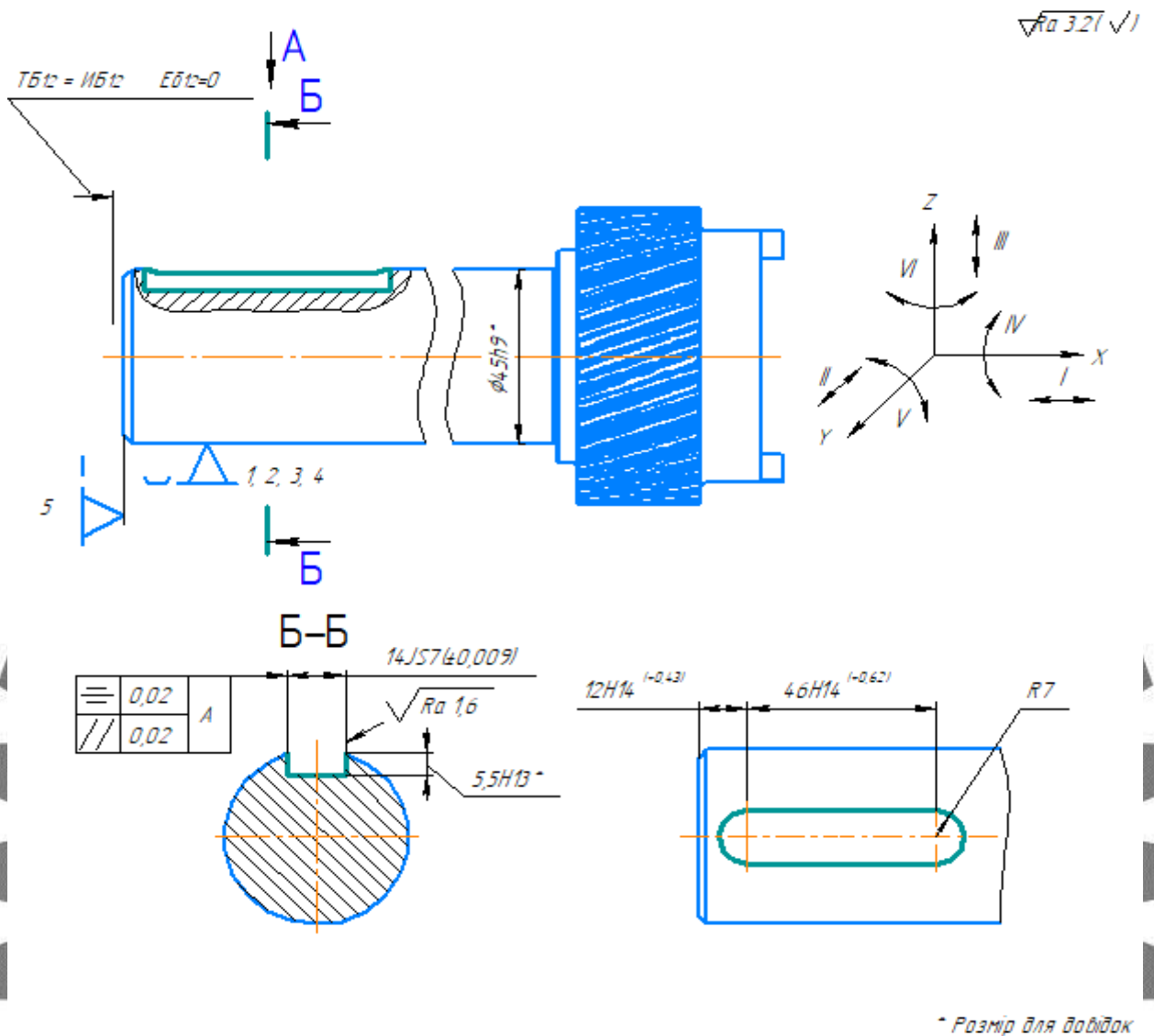


Рисунок 6.4 – Ескіз заготовки на операції 060

Аналіз схеми базування заготовки з точки зору забезпечення точності операційних розмірів.

Схема базування не впливає на точність розміру 14 JS7 мм. Точність цього розміру перш за все визначається геометричною точністю ріжучого інструменту (діаметром шпонкової фрези).

Точність довжини пазу 46 мм залежить від точності позиціонування робочих органів верстата. Схема базування не вплине на довжину паза.

Для розміру 12 мм похибка базування дорівнюватиме нулю так як технологічна та вимірювальна бази в цьому випадку співпадають (лівий торець заготовки). Схеми базування і зв'язків наведені в таблицях 6.6 і 6.7.

6 Визначимо хвилинну подачу стола верстата:

$$S_M = S_Z \cdot n_{\Pi} \cdot Z = 0,25 \cdot 284 \cdot 2 = 12,8 \text{ мм/хв.}$$

За паспортом верстата приймаємо подачу $S_M = 15 \text{ мм/хв.}$

Тоді подача на зуб фрези визначиться за формулою:

$$S_Z = S_M / n_{\Pi} \cdot Z = 15 / 284 \cdot 2 = 0,105 \text{ мм/зуб.}$$

7 Сила різання P_Z визначається за формулою [7, с. 282]:

$$P_Z = \frac{10C_p \cdot t^x \cdot S_Z^y \cdot B^u \cdot Z \cdot K_{MP}}{D^q \cdot n^w} =$$
$$= \frac{10 \cdot 68,2 \cdot 5,9^{0,86} \cdot 0,105^{0,72} \cdot 14^{1,0} \cdot 2 \cdot 0,94}{14^{0,86} \cdot 284^0} = 1685 \text{ (Н)},$$

де $C_p = 68,2$; $x = 0,86$; $y = 0,72$; $u = 1,0$; $q = 0,86$; $w = 0$ [7, т. 41, с. 291].

Коефіцієнт K_{MP} визначиться за формулою [7, т. 9, с.264]:

$$K_{MP} = \left(\frac{\sigma_B}{750} \right)^n = \left(\frac{610}{750} \right)^{0,3} = 0,94.$$

Визначаємо складові сили різання P_Z :

$$P_h = P_Z(0,3 - 0,4) = 0,4 \cdot 1685 = 674 \text{ Н;}$$

$$P_v = P_Z(0,85 - 0,95) = 0,95 \cdot 1685 = 1600 \text{ Н;}$$

$$P_y = P_Z(0,3 - 0,4) = 0,4 \cdot 1685 = 674 \text{ Н;}$$

$$P_x = P_Z(0,5 - 0,55) = 0,55 \cdot 1685 = 926 \text{ Н.}$$

8 Потужність різання визначиться за формулою [7, с. 290]:

$$N_p = \frac{P_Z \cdot V_{\Phi}}{1020 \cdot 60} = \frac{1685 \cdot 13,2}{1020 \cdot 60} \approx 0,36 \text{ кВт.}$$

Потужність на шпинделі верстата $N_{\text{шп}}$ визначиться за формулою:

$$N_{\text{шп}} = N_{\text{дв}} \cdot \eta = 7 \cdot 0,8 = 5,6 \text{ кВт,}$$

де $\eta = 0,8$ – ККД верстата;

$N_{\text{дв}} = 7 \text{ кВт}$ – потужність двигуна верстата.

Якщо $N_p < N_{\text{шп}}$ ($0,36 \text{ кВт} < 5,5 \text{ кВт}$), то обробка можлива.

9 Основний час першого переходу визначиться за формулою:

$$T_{01} = \frac{L \cdot i}{S_M} = \frac{105 \cdot 1}{15} = 7 \text{ хв,}$$

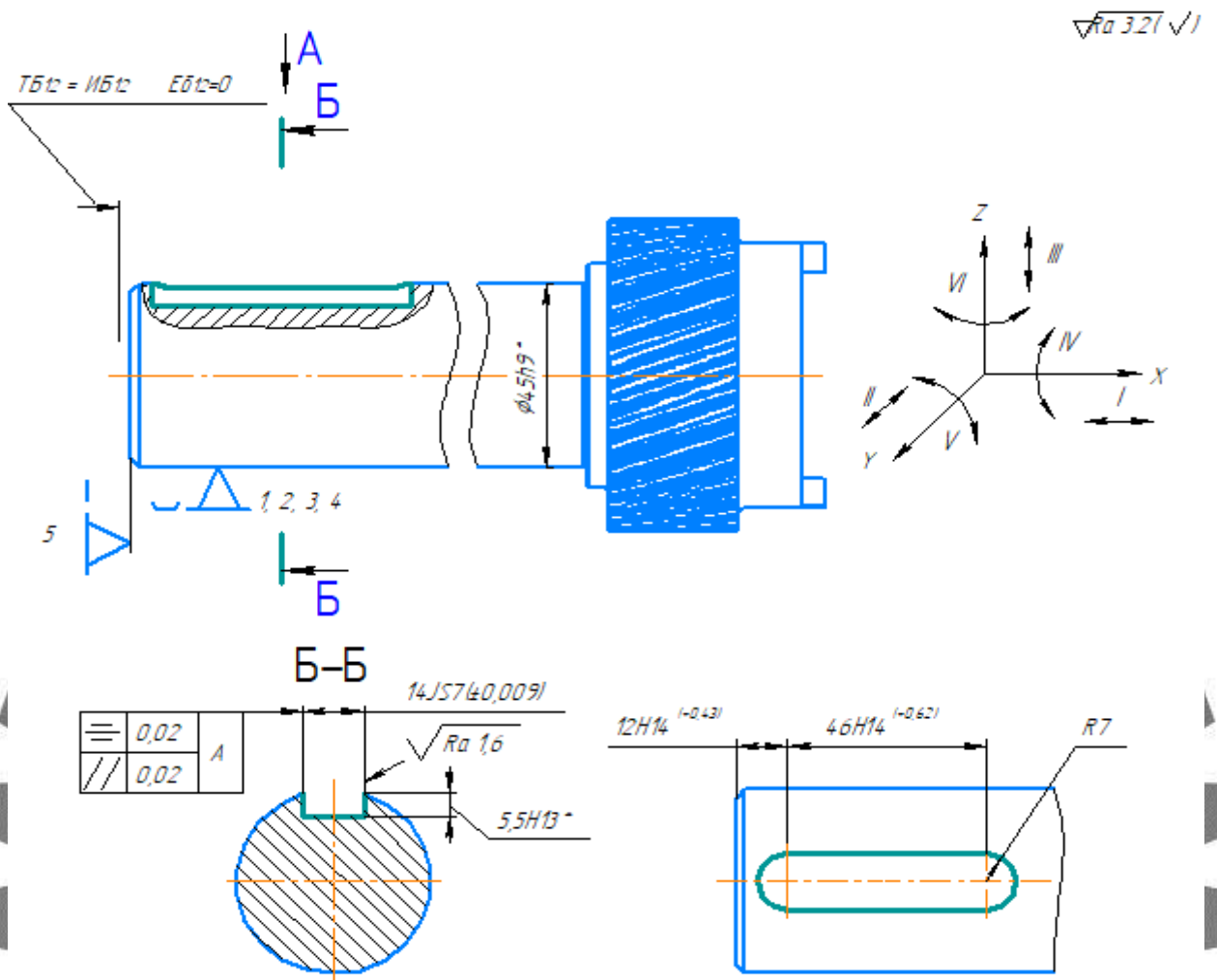


Рисунок 7.1 - Схема базування заготовки для обробки шпонкового пазу

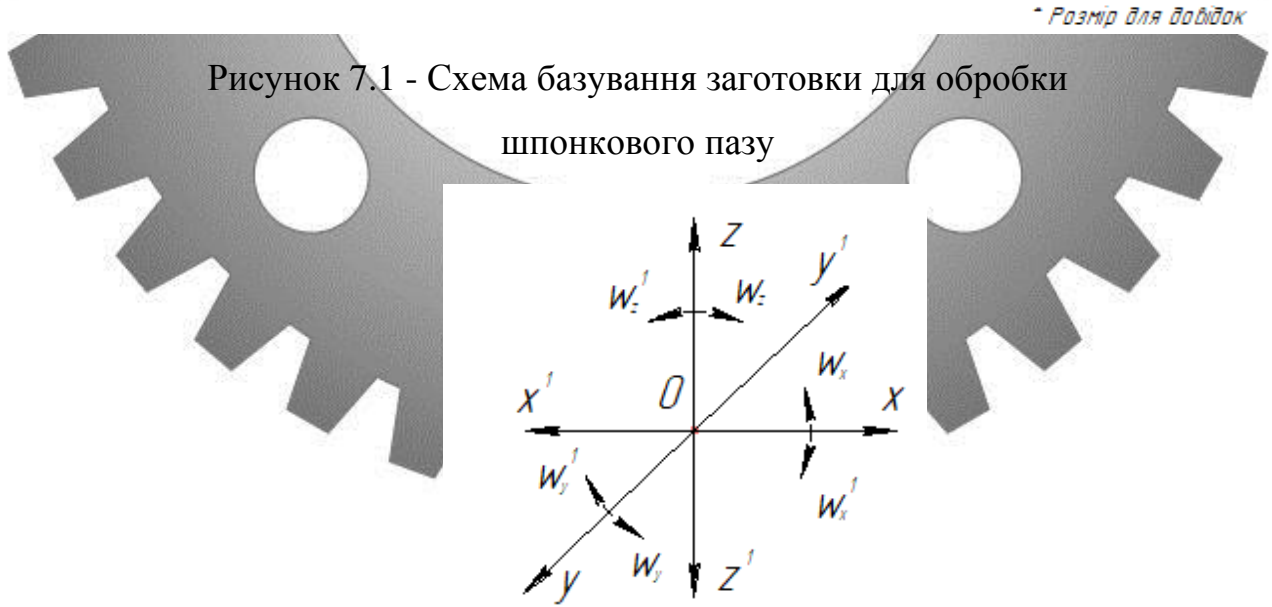


Рисунок 7.2 – Схема однобічних зв'язків, що покладають на заготовку (до таблиці 7.1)

Таблиця 7.1 – Таблиця односторонніх зв'язків

Індекс координати		x	x'	y	y'	z	z'	ω_x	ω'_x	ω_y	ω'_y	ω_z	ω'_z
Спосіб реалізації	Реакція	\bar{R}	\bar{R}	-	\bar{R}	-	\bar{R}	\bar{R}	\bar{R}	-	-	\bar{R}	\bar{R}
	Сила закріплення			P									
	Сила тертя									F(p)	F(p)		

На заготовку накладено 9-ь односторонніх зв'язків, із яких за координатами X та Z відбувається повний зв'язок, а за координатою Y – неповний, що обумовлено можливістю поворотів та односторонньому переміщенню заготовки. Щоб система стала врівноваженою за час обробки, треба позбавити заготовку можливого переміщення по координатам Y, ω_y , ω'_y . Для цього треба переміщення заготовки по координаті Y компенсувати силою закріплення, а можливість поворотів навколо кординати Y компенсувати силами тертя F(p), які виникають від дії сили закріплення P (див табл. 6.2).

Сумський державний університет
Кафедра технології машинобудування,
Верстатів та інструментів

Таблиця 7.2 – Таблиця відповідності

Зв'язки	Ступені вільності	Найменування бази
1, 2, 3, 4	II, III, V, VI	ПНБ
5	I	ОБ
6	IV	Вакансія

забезпечення точності поверхні. Так, як всі допуски не перевищують норму на операційний розмір це є прийнятним для обраної схеми базування.

7.7 Побудова функціональної структури пристрою

З набору функцій, що наведені в пункті 5, виділимо ті, які реалізуються на протязі оперативного часу: 0,1,2,5,6,7. Функції 3,4 впливають на підготовчо-заклучний час; функції 8,10 прямого впливу на штучний час не здійснює.

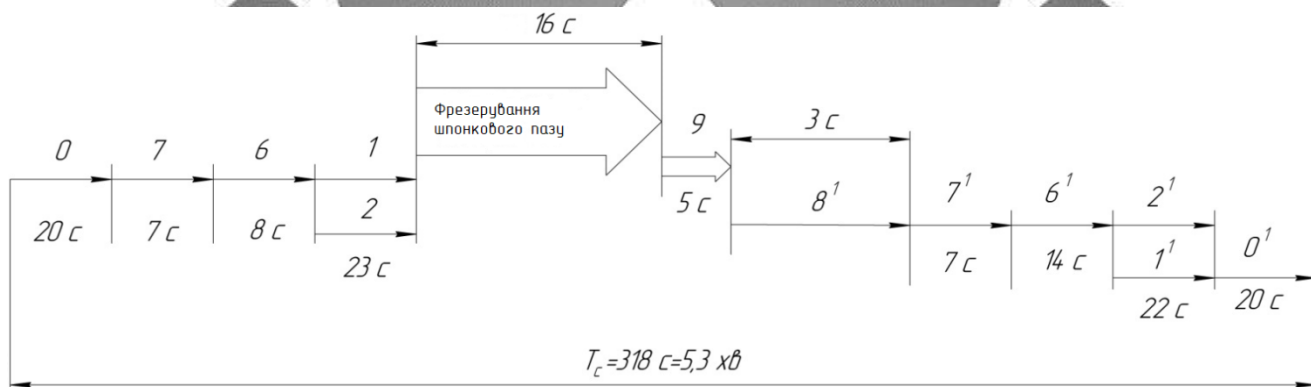


Рисунок 7.3 – Схема послідовної реалізації функцій

Функціональна структура пристрою представлена на рисунку 7.4.

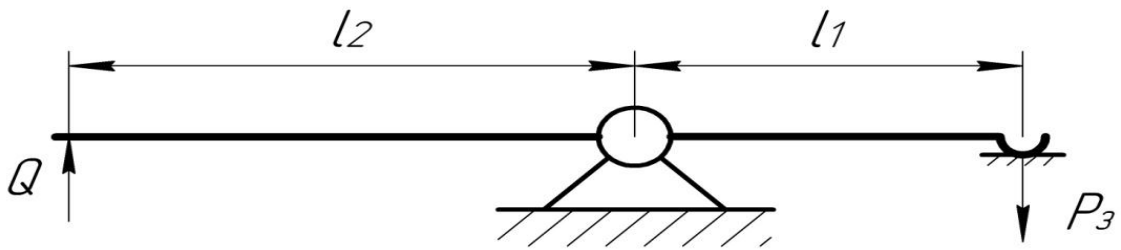


Рисунок 7.6 - Схема важільного механізму пристрою

Сила на штоку Q , згідно даними довідника [7, т.15, с.89], розраховується за формулою:

$$Q = \frac{P_3 \cdot l_1}{l_2 \cdot h} = \frac{1386 \cdot 80}{120 \cdot 0,9} = 1026 \text{ Н}$$

де $l_1 = 80$ мм; $l_2 = 120$ мм □ плечі важільного механізму (визначаються при проектуванні механізму пристрою);

$h = 0,9$ □ ККД механізму (середній показник).

Конструкція пневматичної камери складається з двох штампованих кришок, між якими ущільнена діафрагма, матеріал якою є гумова тканина. Останню виготовляють з багатошарової тканини «бельтинг», яка просочена з обох сторін мастило стійкою резиною. Товщина діафрагми знаходиться в межах 4-10 мм. При поданні стислого повітря в нижню порожнину діафрагми, остання рухає з'єднаний з нею шток і встановлену на ньому пружину вверх. Шток, який пов'язаний із затискним пристроєм пристрою, передає на останній зусилля, величина якого залежить від діаметра мембрани і тиску стислого повітря в порожнині камери. Після видалення стислого повітря із порожнини камери шток під дією пружини рухається вниз, а діафрагма стає опуклою.

За невеликим рухом штока застосовують площинні діафрагми строк служби яких становить до одного мільйона затиснень.

Пневматичні камери закріплюються на корпусі пристрою за допомогою гвинтів або болтів і фіксуються напрямними штифтами.

Згідно виконаних розрахунків (див. пункт 3 пояснювальної записки), діаметр пневматичного приводу D_p визначиться за формулою [2, т.19, с.92]:

$$D = \frac{1}{1,7} \cdot \sqrt{\frac{Q_0}{0,196 \cdot p_0}} = \frac{1}{1,7} \cdot \sqrt{\frac{1026}{0,196 \cdot 0,4}} = 67 \text{ мм}$$

В.Г. Євтухов, В.О. Іванов. – Суми: Сумський державний університет, 2011. – 55 с.

11. **Методичні вказівки до оформлення документації при виконанні розрахунково-графічних і курсових робіт, курсових і дипломних проектів з технології машинобудування.** у 2 ч. – Ч. 2. Приклади оформлення технологічної документації / укладачі: В.Г. Євтухов, В.О. Іванов. – Суми: Сумський державний університет, 2011. – 59 с.

12. **ГОСТ 3.1702–79.** ЕСТД. Правила записи операций и переходов. Обработка резанием. – Москва: Издательство стандартов, 1982. – 32 с.



**Сумський державний університет
Кафедра технології машинобудування,
верстатів та інструментів**

Изм.	Лист	№ докум.	Подпись	Дата

ТМ 19510123 ПЗ